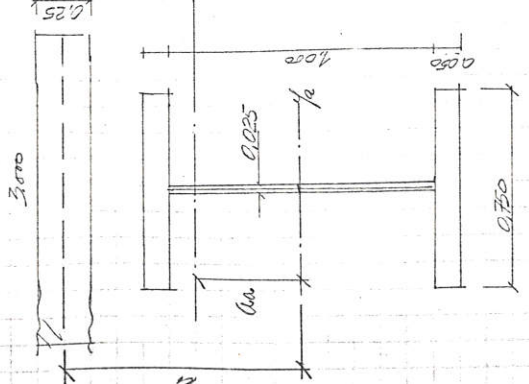


Test new transverse net gear force!



$$\frac{I_{y,yic}}{I_{y,yic}} = \frac{0.75 \cdot \frac{12}{2}^3 - 0.725 \cdot \frac{12}{2}^3}{12} = \frac{22.77 \cdot 10^{-3}}{23.55 \cdot 10^{-3}}$$

$$I_{y,yic} = 0.755 \cdot \frac{11}{12}^3 = 0.555 \cdot 10^{-3}$$

Prof.: $\bar{z}_g = 0.555$
 $A \cdot t = 100,0 \cdot 10^{-3}$
 $I_{yQ} = 22.77 \cdot 10^{-3}$

Betrag: $n = \frac{\bar{z}_g}{E_c} = \frac{20}{200}$

$$I_c = \frac{30 \cdot 0.225^3}{7} = \frac{0.555 \cdot 10^{-3}}{0.555 \cdot 10^{-3}}$$

Prof. $\bar{z}_g = 0.125$
 $A_{tc} = 0.107$
 $I_{yc} = 558 \cdot 10^{-3}$

Tomaten fris vs 3476

$$t_g = 0 \cdot \frac{A_c}{A_c + A_Q} = (0.55 + 0.125) \cdot \frac{0.107}{0.100 + 0.107}$$

$$= 0.348$$

Perzgi:

$$\bar{z}_g = 0.899$$

$$\Rightarrow a_s = 0.899 - 0.55 = 0.349$$

Stemmer /

\rightarrow Kond. Brack
Gemi. \rightarrow 50% offst. corr. etc.

$$I_c = I_a + I_c + a^2 \frac{A_c}{A_c + A_Q} A_Q$$

$$= 22.77 \cdot 10^{-3} + 0.555 \cdot \frac{11}{12}^2 + \frac{(0.635)^2 \cdot 0.107 \cdot 0.100}{0.107 + 0.100}$$

$$= \frac{46,8 \cdot 10^{-3}}{23.55 \cdot 10^{-3}}$$

Prof. $26,9 \cdot 10^{-3} \text{ m}^4$

$$\sigma_i = \frac{1}{J} A_c (q - q_0) \quad (\text{grausig})$$

$$= 0,107 \cdot (0,635 - 0,349) = \frac{34,98 \cdot 10^{-3} \text{ N}}{34,98 \cdot 10^{-3} \text{ m}^3}$$

Prof. EHD : $\frac{I_{yQ}}{I_{yQ}} = \frac{34,98 \cdot 10^{-3} \text{ m}^3}{23.55 \cdot 10^{-3}}$ \rightarrow negat. $\Delta \sigma$!

$$\sigma_v = \sqrt{\frac{\sigma_y}{I_{yQ}}} = \frac{1549 \cdot 10^3 \text{ N}}{46,9} = \frac{34,91}{46,9} = \frac{1168,3 \cdot 10^3}{46,9} \text{ N/mm}^2$$

fordern

$$\sigma = 210 \cdot 10^3 \cdot 3 \cdot 1,3 = \frac{810}{187}$$

$$+ \frac{32\pi \cdot 9,10^3 \text{ N/mm} \cdot 1,3}{2} = \frac{187}{187}$$

$$\Delta \sigma \leq 1000 \text{ N/mm}^2$$

20% string $\Rightarrow 1569 \text{ N/mm}^2$ \rightarrow Bund.

Med. Anrein (over effective breadth)

$$\bar{z}_{20} \text{ c } 200 \Rightarrow A_{st} = 9,574 \cdot 10^{-3}$$

$$\text{Abdl. } \frac{I_{yQ}}{I_{yQ}} = \frac{0,5 \cdot 35 - 15,2}{11,15} = \frac{18,3}{18,3} \text{ Tyc} = \frac{47,72 \cdot 10^{-3} \text{ m}^3}{36,24 \cdot 10^{-3} \text{ m}^3}$$

$$\frac{I_{yQ}}{I_{yQ}} = \frac{\pi \cdot 0,011^2 \cdot 15,2}{11,15} = \frac{57,9 \cdot 10^{-3}}{57,9 \cdot 10^{-3}} \rightarrow$$

$$\frac{15,8}{0,011} \approx 200 \text{ drehbar } \rightarrow \frac{q_1}{F_0} = 15,82 \text{ drehbar.}$$

$$\frac{15,8}{0,011} = \frac{1207 \cdot 10^3 \cdot 36,24}{47,72} = \frac{916,10}{47,72} \text{ N/mm}^2$$

N₂(T)

Tilsvarende forenklet oppbygning av tverrsnitt er vist på figur A.7.3.2b.

Ekvivalent betongareal er A_c/n med $n = E_{ak}/E_{ck}$.

Trant. stål.

Det samlede tverrsnitt vil være $A_i = A_a + A_c/n$

med annet arealmoment:

$$\checkmark I_i = I_a + \frac{1}{n} I_c + a^2 \frac{\frac{1}{n} \cdot A_c \cdot A_a}{A_i}$$

Felles tyngdepunkt, transformert til stål.

NB virkningens av armeringsstål plate ikke følt med.

Tyngdepunktets beliggenhet for det samlede tverrsnitt vil være

$$\checkmark a_a = a \cdot \frac{\frac{1}{n} A_c}{A_i}$$

Statisk moment om det felles tyngdepunkt er for betongarealet

$$\checkmark S_i = a \cdot \frac{\frac{1}{n} \cdot A_c \cdot A_a}{A_i} = a_a \cdot A_a = \frac{1}{n} A_c (a - a_a)$$

Kraftresultanten i betonggurten pga. et ytre moment blir

$$\checkmark N_c = \frac{M}{I_i} S_i \quad \text{Akt. tilbøyel.}$$

$\bar{x}_c =$

Skjærkraft per lengdeenhet i fugen mellom stålflets og betong blir ved monolittisk (stiv) forbindelse

$$K_t = q_v = \frac{dN_c}{dx} = V \cdot \frac{S_i}{I_i} = \frac{d\left(\frac{M}{I_i} S_i\right)}{dx} = \text{ok.}$$

Armering.

Dersom lengdearmering A_s i betongen er av betydning, skal den tas med i betong-tverrsnittet.

$$A_c = t_c \cdot b_c + nA_s \quad \text{eller } x \cdot b_c + nA_s$$

Tyngdepunkt og I -verdier regnes så ut på vanlig måte.

Betongtverrsnitt i strekksone regnes ikke virksomt i bruddgrensetilstanden.

kryp

N.B. Ved beregning av spenninger fra en konstant langtidslast kan virkningen av betongs krypning tas med ved å regne med en redusert modul.

$$E'_{ck} = E_{ck} \frac{1}{1 + 1,1 \varphi}$$

Verdier for φ er gitt i punkt A.4.1.2.

Et kryp.
- vedkrev fortøyningsfaktor.
- Etter med kryp redusert Emod.
D: Spesial betone = Et
mer kryp etter i stål redusert skjøl
Et redusert skjøl

Valg av løsningsmåte for svinnkrefter / Temperatur forskjell.

Beregning av svinnkrefter inkludert virkning av krypning kan bli forholdsvis komplisert, men alle nødvendige data er gitt i punkt A.4.1.2. En metode som kan brukes i de aller fleste tilfeller, er å regne med en redusert elastisitetsmodul E'_{ck} for betongen.

Ved beregning av svinnkrefter kan da antas:

$$\text{Før } E'_{ck} = \frac{E_{ck}}{1 + 0,6\varphi}; \text{ eller } n' = n(1 + 0,6\varphi) \quad n = \frac{E_{ck}}{E_c} \quad \frac{1}{n'_{cs}} = \frac{1}{n(1 + 0,6\varphi)}$$

Virkning av svinn kan bestemmes som for sprangvis temperaturforskjell, idet man bestemmer tverrsnittsverdier $A'_i \cdot I'_i$ osv. med n' istedenfor for n .

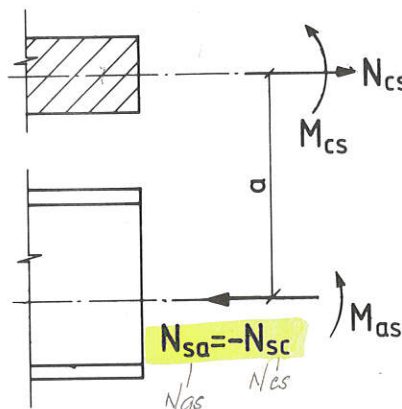
Med betegnelser som på figur A.7.3.2b blir det strekkraft i betongen på grunn av svinn.

$$N_{cs} = \epsilon_{cs} E'_{ck} A_c \frac{A_a \left(I_a + \frac{1}{n'} I_c \right)}{A'_i \cdot I'_i} \quad \text{svinkrefvervsnitt,} \quad \epsilon_{ctf} = \Delta T \cdot \alpha_e \quad 15^\circ \rightarrow 1,0 \cdot 10^{-5} \\ = 1,5 \cdot 10^{-4} \text{ Husk } E_{ck} !$$

med en tilsvarende trykkraft i stålkonstruksjonen. Dette kraftpar fører til momenter i stålkonstruksjonen M_{as} og betongdelen M_{cs} .

$$M_{as} = \epsilon_{cs} E'_{ck} A_c \frac{A_s I_s}{A'_i \cdot I'_i} M_{cs} = \frac{I_c}{n' \cdot I_a} M_{as} \quad \text{ok - K - } \phi_1 = \phi_2$$

Se figur A.7.3.2c.

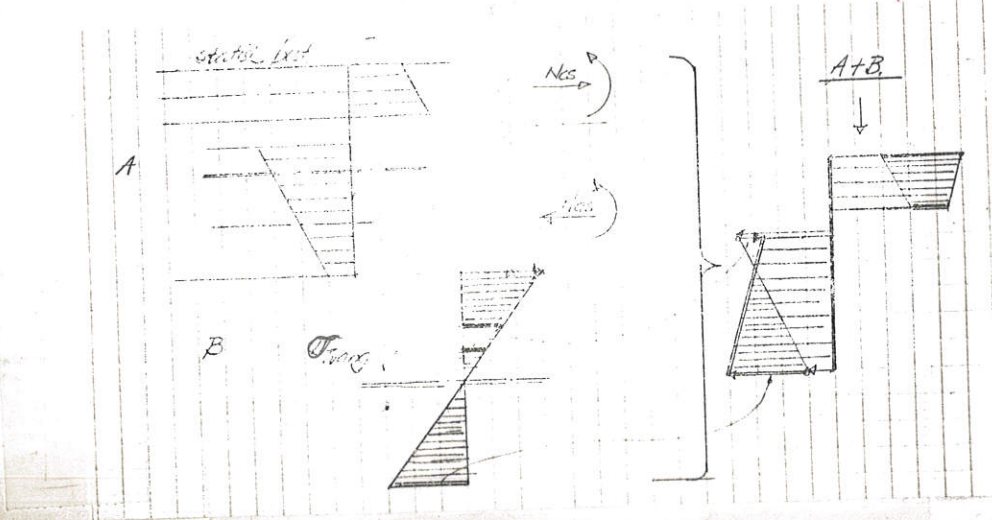


Krefter i statisk bestemt konstruksjon.

Ulest:

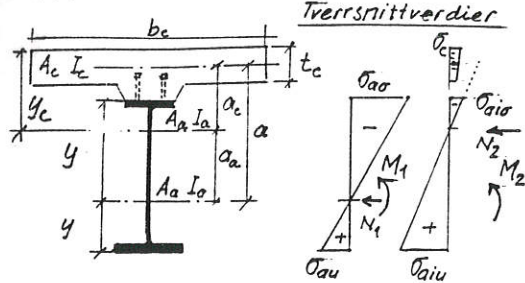
\Rightarrow trangskrifter
 \Rightarrow nye biderig

Figur A.7.3.2c Krefter fra svinn og krypning



FORMELBILAG

-7-



Tverrsnittverdier

Nat
NCS

Bjørn NIK

FORMELBILAG

-8-

Spanninger i elastisk tverrsnitt

Last på stålbjelke

$$\sigma_{au} = \frac{N_1}{A_a} + \frac{M_1}{W_{au}} \quad \sigma_{ao} = \frac{N_1}{A_a} - \frac{M_1}{W_{ao}}$$

Last på somvirkebjelke (korttid)

$$\sigma_{ia} = \frac{N_2}{A_i} + \frac{M_2}{W_{iu}} \quad \sigma_{io} = \frac{N_2}{A_i} - \frac{M_2}{W_{io}}$$

$$\sigma_c = \frac{1}{n} \left(\frac{N_2}{A_i} - \frac{M_2}{W_c} \right)$$

Last på somvirkebjelke (langtid)

$$\sigma_{icu} = \frac{N_3}{A_{ic}} + \frac{M_3}{W_{icu}} \quad \sigma_{ics} = \frac{N_3}{A_{ic}} - \frac{M_3}{W_{ics}}$$

$$\sigma_{cc} = \frac{1}{n_c} \left(\frac{N_3}{A_{ic}} - \frac{M_3}{W_{cc}} \right)$$

Svinnspanninger

Svinnstøyning E_{cs} (neg.) $n_{cs} = n(1+0,6\varphi)$

$$F_{so} = E_{cs} \cdot E_c \cdot A_c$$

$$\sigma_{aus} = -\frac{F_{so}}{A_{is}} + \frac{E_c \cdot a \cdot A_a}{W_{isu} \cdot A_{is}}$$

$$\sigma_{aos} = -\frac{F_{so}}{A_{is}} - \frac{E_c \cdot a \cdot A_a}{W_{iso} \cdot A_{is}}$$

$$\sigma_{cs} = \frac{F_{so}}{A_c} - \frac{1}{n_{cs}} \left(\frac{F_{so}}{A_{is}} + \frac{E_c \cdot a \cdot A_a}{W_{ics} \cdot A_{is}} \right)$$

A_{is}, W_{isu}, W_{iso}
og W_{ics} beregnes
med elastisitet
forholdet n_{cs}

Ståltverrsnitt alene

$$W_{au} = I_a / Y_{au} \quad W_{ao} = I_a / Y_{ao}$$

Samvirketverrsnitt

Korttidslast

$$n = E_a / E_c$$

$$A_i = A_a + \frac{f}{h} A_c \quad I_i = I_a + \frac{f}{h} I_c + \sigma^2 \frac{\frac{1}{h} A_a A_c}{A_i}$$

$$W_{ia} = \frac{I_i}{Y_{au} + a} \quad W_{io} = \frac{I_i}{Y_{ao} - a} \quad W_{ic} = \frac{I_i}{Y_c}$$

$$\text{hvor } a_a = \frac{f}{h} A_c \quad a_c = a - a_a$$

Langtidslast

$$n_c = E_a / (E_c / (1 + 1,1\varphi)) = n(1 + 1,1\varphi)$$

Med denne verdi istedenfor n , som for korttidslast: A_{ic} , I_{ic} , W_{icu} , W_{ico}

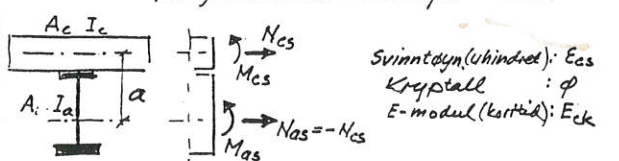
FORMELBILAG

-9-

Alternativ beregning av svinnkrefter

Det kan være enkelig å slippe beregning av tverrsnittsverdier også for "elastisitetforholdet" n_{cs} , og dermed begrense denne beregningen til to sett verdier.

For tverrsnitt hvor stålbjelkens stivhet er dominerende, kan det gis en enkel løsning. Den vil være gyldig for nært sagt alle bruksjelker, og i allfall for tverrsnitt med stålskål som minst har høyde ca 1,0m. Siden det ikke er behov for svært nøyaktig beregning, kan nok dette tøyes endel.



$$N_{cs} = (-E_{cs} \cdot E_c \cdot A_c) \cdot \frac{\alpha}{1 + 0,6\alpha\varphi} = -N_{as}$$

$$\text{hvor } \alpha = \frac{A_a I_a}{A_i (I_i - \frac{f}{h} I_c)}$$

$$M_{as} = N_{cs} \cdot a \cdot I_a / (I_a + \frac{f}{h} I_c)$$

$$M_{cs} = M_{as} \cdot \frac{f}{h} I_c / I_s = M_{as} \frac{I_c / I_s}{n(1+0,6\varphi)}$$

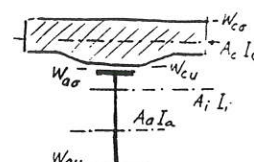
Verdier A_i og

I_i regnes

med $n = E_c / E_k$

$n_{cs} = n(1 + 0,6\varphi)$

Disse formlene gir kraftandeler på de to deltverrsnittene. Spanningene blir, etter vanlige prinsipper:



$$\sigma_{cos} = \frac{n_{cs}}{A_c} - \frac{M_{cs}}{W_{co}}$$

$$\sigma_{cus} = \frac{n_{cs}}{A_c} + \frac{M_{cs}}{W_{cu}}$$

$$\sigma_{aos} = \frac{N_{as}}{A_a} - \frac{M_{as}}{W_{ao}}$$

$$\sigma_{aus} = \frac{N_{as}}{A_a} + \frac{M_{as}}{W_{au}}$$

Motstandsmomenter
gjelder for hvert
deltverrsnitt

J NS 3476 Tillegg, pkt A 7.3.2 er det gitt følgende formler som også bestemmer kraftandeler på deltverrsnitt:

$$N_{cs} = -N_{ocs} = \frac{-E_{cs} \cdot E_c \cdot A_c \cdot A_a (I_a + \frac{f}{h} I_c) / I_c}{1 + 0,6\varphi} \cdot \frac{A_a / I_a}{A_{is} / I_{is}}$$

$$M_{as} = \frac{-E_{cs} \cdot E_c \cdot A_c \cdot A_a / I_a \cdot a}{1 + 0,6\varphi} \cdot \frac{A_a / I_a}{A_{is} / I_{is}}$$

$$M_{cs} = \frac{I_c}{n_{cs} I_a} \cdot M_{as}$$

Disse formlene er det korrigert for trykkfeil i Tillegget, samt innført noen symboler som er brukt i dette formelbilag. Ulemper med disse siste formlene er at man må beregne tverrsnittsverdier A_{is} og I_{is} med modulforholdet $n_{cs} = n(1 + 0,6\varphi)$.